

B-16 地球温暖化抑制のための CH<sub>4</sub>、N<sub>2</sub>O の対策技術開発と評価に関する研究

(9) 東北アジア地域における CH<sub>4</sub>、N<sub>2</sub>O 抑制のための汚水・汚泥の適正処理技術開発

③ 湿地帯、酸化池、水生植物植栽地等のエコエンジニアリングシステムを用いた CH<sub>4</sub>、N<sub>2</sub>O 発生抑制技術開発

研究代表者 国立環境研究所地域環境研究グループ 稲森悠平

環境庁国立環境研究所

地域環境研究グループ 開発途上国環境改善（水質）研究チーム 稲森悠平・水落元之  
孔海南（EF フェロー）

平成 8 年～9 年度合計予算額 4,000 千円

（平成 9 年度予算額 2,000 千円）

〔要旨〕本国際交流研究は、生活排水を処理する土壤トレーラー、湿地帯、酸化池等からの CH<sub>4</sub>、N<sub>2</sub>O 等の地球温暖化ガスの発生を抑制できるエコエンジニアリングシステムを活用した地球温暖化ガス対策技術を開発し、日本等先進国だけではなく、中国等の近隣諸国も含めて汎用化することを目的としている。

平成 8 年度において日本と中国の土壤トレーラー処理施設での CH<sub>4</sub>、N<sub>2</sub>O ガスの発生の実態調査と室内ペンチスケール土壤トレーラーでの物質収支の解説による CH<sub>4</sub>、N<sub>2</sub>O ガスの発生特性を解析し、両国における土壤トレーラーからの CH<sub>4</sub>、N<sub>2</sub>O ガスの放出原単位はいずれにおいても同様に生活排水を処理する活性汚泥法より数百倍高くなることが明らかとされた。また、中国側に土壤トレーラー処理施設を普及した場合に巨大な放出量となることから、適切な抑制対策の開発と普及が重要と考えられた。

平成 9 年度には両国の国立試験機関に設置された同じ密閉ガス回収空間を設置したペンチスケール土壤トレーラーでの物質収支の解説による CH<sub>4</sub>、N<sub>2</sub>O ガスの発生に関するメカニズムを解明と CH<sub>4</sub>、N<sub>2</sub>O ガスの発生と ORP との関係を解析し、微量通気法を導入した CH<sub>4</sub>、N<sub>2</sub>O ガスを抑制する循環式嫌気ろ床・土壤トレーラーシステムを開発する研究を行った。研究成果としては土壤トレーラーの CH<sub>4</sub>、N<sub>2</sub>O ガスの高放出の主なメカニズムはその内部の好気状態と局部的嫌気部分が併存することが構造的な原因であること、土壤トレーラーにおいて ORP を +150mV 以上或いは -10mv 以下に維持すれば N<sub>2</sub>O ガスの発生を抑制できること、また、微量通気方式を適用することにより ORP を +300 ～ 400mV 程度に維持でき、CH<sub>4</sub>、N<sub>2</sub>O ガスの放出をそれぞれ約 1/2, 1/3 抑制できることがわかった。即ち本研究で開発された微量通気方式等を組み込んだ総合的 CH<sub>4</sub>、N<sub>2</sub>O ガスの抑制対策を導入する循環式嫌気ろ床・土壤トレーラーは中国へ応用可能な地球温暖化ガス抑制手法であり、生活排水を高度処理できる土壤トレーラーシステムであることがわかった。

本研究で開発された CH<sub>4</sub>、N<sub>2</sub>O のガス抑制する循環式嫌気ろ床・土壤トレーラーシステム等の中国に実証試験と普及の可能性の検討を更に行うことが重要である。

〔キーワード〕 CH<sub>4</sub>、N<sub>2</sub>O、抑制技術、土壤トレーラー、ORP、微量通気法、中国

## 1. 序

中国等の開発途上国で用いられている生活排水を処理する土壌トレチ、湿地帯と酸化池等処理施設のCH<sub>4</sub>、N<sub>2</sub>Oガスの発生源としては非常に大きいこと(Bartlettら)がわかっているものの具体的な対策技術に関する研究は国内外ともほとんどなく、更には土壌トレチからのCH<sub>4</sub>、N<sub>2</sub>Oガス制御についての情報は皆無であるし、またこのような場における硝化脱窒促進とN<sub>2</sub>Oガス発生との関連も明らかにされていない。本国際共同研究では特に生態系に人為的な工学技術を導入して莫大な予算を投ずることなく環境改善を可能ならしめる方式であるが、その導入が大きく期待できる中国等近隣諸国では手が付けられていないのが現状である。そのため中国等の近隣諸国を含めた国際交流研究による開発研究を行うことにより地球温暖化抑制対策の国際化を可能ならしめ温暖化ガス抑制に大きく貢献できると考えられる。

中国において湖沼、河川、内湾等閉鎖性水域の深刻な水質汚濁環境問題と水資源不足問題の解決を図るために、生活排水対策と処理水再利用対策は極めて緊急に推進すべき重要課題として位置づけられている。一方、《日本国政府と中華人民共和国政府との環境保護協力協定（1994.3から）》に基づいて開催された日中両国政府環境保護合同委員会第一～三回会議で継続合意された協力活動に基づいて、日中両国の担当部門としての日本国立環境研究所と中国科学院応用生態研究所との中国の国情に適した生活排水の処理土壌トレチプロセスの開発についての国際共同研究は1994年から開始された。1995年3月に上記の両部門はこれまでの国際共同研究を発展するよう、これから更に協力して地球温暖化ガスを抑制する技術を中国の生活排水処理土壌トレチプロセスに組み込んで中国に普及することが必須であるとの合意に達した。

本国際交流研究は、平成8年度において日本と中国の土壌トレチ処理施設でのCH<sub>4</sub>、N<sub>2</sub>Oガスの発生の実態調査と主な土壌処理技術の室内ベンチスケール装置で物質収支の解明によるCH<sub>4</sub>、N<sub>2</sub>Oガスの発生特性を解析した。日中両国において土壌トレチの処理施設での調査およびベンチスケール装置での検討のいずれにおいても、CH<sub>4</sub>、N<sub>2</sub>Oガスの放出原単位はそれぞれ9.3～13.9g CH<sub>4</sub>・m<sup>-3</sup>と8.2～12.2g N<sub>2</sub>O・m<sup>-3</sup>、3.0～4.5g CH<sub>4</sub>・m<sup>-3</sup>と3.3～5.0g N<sub>2</sub>O・m<sup>-3</sup>であり、同じ生活排水を処理する活性汚泥法より数百倍高くなることが明らかとされた。また、中国側に土壌トレチ処理施設を普及した場合を試算するとCH<sub>4</sub>、N<sub>2</sub>Oガスはそれぞれ43,800T～65,700T·CH<sub>4</sub>·yr<sup>-1</sup>と48,200T～73,000T·NO<sub>2</sub>·yr<sup>-1</sup>という巨大な放出量となることから、適切な抑制対策の開発と普及が重要と考えられた。

平成9年度は両国の国立試験機関に設置された同じ密閉ガス回収空間を設置したベンチスケール土壌トレチで物質収支を解析することによりCH<sub>4</sub>、N<sub>2</sub>Oガスの高放出に関するメカニズムを解明し、特に土壌トレチにおけるORP、水量負荷量とCH<sub>4</sub>、N<sub>2</sub>Oガスの発生との関係を解析し、中国をはじめとする開発途上国の国情に合う、CH<sub>4</sub>、N<sub>2</sub>Oガスの発生抑制可能なORPを高いレベル維持でき、微量通気法を導入する循環式嫌気ろ床・土壌トレチシステムを開発することを目的として試験研究を行った。

## 2. 研究方法

### 2.1 実験装置と実験条件

実態調査対象となる日本側の土壌トレチ処理施設は、京都府瑞穂町の生活排水処理施設である。すなわち均一散水浸潤層と通気技術の導入された屎尿排水を処理する嫌気濾床・土壌トレチ施設で、規模が20人程度で、嫌気濾床のHRTが24時間、土壌トレチの水量負荷が100L·day<sup>-1</sup>で、土壌トレチ

では標準土壤を使用しており、処理施設の排水負荷と処理性能が安定していることを確認した上で、土壤トレンチから発生した  $\text{CH}_4$ 、 $\text{N}_2\text{O}$  等地球温暖化ガスを採取し、1～2回／月の頻度で地球温暖化ガスの放出実態調査を行った。

実態調査対象の中国側の土壤トレンチ処理施設については、共同研究の相手としての中国科学院応用生態研究所が直接担当する国家重点環境プロジェクトのモデル事業の一つとしての遼寧省沈陽市の沈陽工業大学学生宿舎における生活排水の嫌気濾床・土壤トレンチ施設であり、土壤トレンチ処理方式は標準的毛細管浸潤法で、規模が日本側の処理施設よりかなり大きい 1,000 人程度で、処理水量が約  $50\text{m}^3 \cdot \text{day}^{-1}$  であり、嫌気濾床の HRT は日本側より短い約 14 時間で、土壤トレンチの水量負荷は日本側と同じように  $100\text{L} \cdot \text{day}^{-1}$  に設定した。土壤は現場の土壤を使用し、排水が屎尿排水と食堂排水、雑排水も入る生活系排水である。この処理施設の特徴は水不足を解決するために、生活排水量の 70% 程度が処理水として回収され、直接トイレ洗浄用水と園芸用水として再利用され、再利用水質目標が  $\text{BOD} < 30\text{mg/l}, \text{SS} < 30\text{mg/l}$  であり、それ以外に、土壤トレンチの地表に大豆等農産物を栽培する方式である。土壤トレンチの処理施設の  $\text{CH}_4$ 、 $\text{N}_2\text{O}$  等地球温暖化ガスの放出実態については、日本側と同一方法と頻度で調査される。

日中両国の国立試験機関に設置された実験室内ベンチスケール土壤トレンチは担体を充填された容量 1L の嫌気濾床と 5L の土壤トレンチから構成され、原水が嫌気濾床の下から流入され、充填された担体層で嫌気発酵処理した後に土壤トレンチの上部に設置された散水管から流入され、受皿で土壤毛細管現象で緩速浸潤散され、土壤層で浄化され、浄化された処理水を土壤トレンチの下部の不透水部分に貯めた後に流出するようになっている。微量通気方式とは土壤トレンチの土壤層の下部に散気管を設置し、プロペラで微量空気を散気管を通して酸素を供給する方式である。循環方式とは土壤トレンチで浄化された処理水を再度嫌気ろ床の下から流入させる方式である。土壤トレンチの上部にガス回収する 2L の密閉空間が設置されている。図 1 は毛細管式ベンチスケール土壤トレンチの概要である。日本側では土壤トレンチの土壤は黒ぼく土を使用し、排水はつくば市内ある団地の生活系排水を用いた。中国側のベンチスケール土壤トレンチの土壤は中国東北地方の黒土を使用し、排水は中国科学院応用生態研究所内職員宿舎からの生活系排水を用いた。

微量通気方式による  $\text{CH}_4$ 、 $\text{N}_2\text{O}$  ガスの抑制効果についての実験条件は、4 基の毛細管方式ベンチスケール土壤トレンチについては 2 基を通気量  $0.21 \cdot \text{min}^{-1}$  に設定した通気系と 2 基を非通気系として運転するようにした。通気系と非通気系のいずれにおいても 1 基を土壤トレンチの流出水を嫌気濾床に循環比 2 で循環し、別の 1 基を循環しない運転条件に設定した。非循環系土壤トレンチの水量負荷は  $100\text{L} \cdot \text{day}^{-1}$  とし、循環系の水量負荷は  $300\text{L} \cdot \text{day}^{-1}$  とした。

水量負荷による ORP と  $\text{CH}_4$ 、 $\text{N}_2\text{O}$  ガスの発生抑制の影響について実験条件は、4 基の毛細管方式ベンチスケール土壤トレンチは通気量  $0.21 \cdot \text{min}^{-1}$  に、循環比 2 に設定し、水量負荷が非循環系の場合にそれぞれ 200L、150L、100L、50L  $\cdot \text{day}^{-1}$ 、循環系の場合にそれぞれ 150L、100L、75L、50L  $\cdot \text{day}^{-1}$  (循環水を

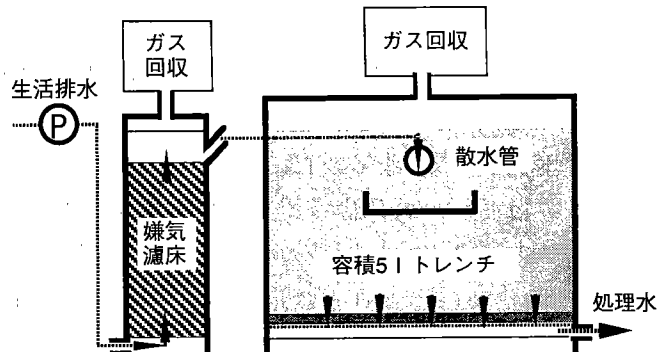


図1 ベンチスケール土壤トレンチの概要

含む水量負荷 450L、300L、225L、150L・day<sup>-1</sup>)の各 4 段階に設定し、循環系と非循環系とともに 12 週間後の ORP と CH<sub>4</sub>、N<sub>2</sub>O ガスの発生状況で評価を行った。実験装置は 20 ℃恒温室に設置した。

## 2.2 測定方法

土壤トレチから発生した CH<sub>4</sub>、N<sub>2</sub>O ガスの採取方法は日中両国の担当者の事前打ち合わせより下記のように統一方法で行うこととした。すなわち両国のベンチスケール土壤トレチにおいては、日本側の八木らの方法を統一方法とし、土壤トレチから発生した CH<sub>4</sub>、N<sub>2</sub>O 等ガスの放出実態調査について、底の無い 50L のチャンバーを土壤トレチの表土から 10cm 以上 の深さに埋め、チャンバー内にガスを採取する時に圧力をバランスさせるための外の空間と連通した 1L テドラーーパックを付け、ベンチスケール土壤トレチから発生した CH<sub>4</sub>、N<sub>2</sub>O 等ガスの放出実態調査について、その上部の密閉空間内にガスを採取する時に圧力をバランスさせるための外の空間と連通した 1L テドラーーパックを付けた。密閉空間が完全な開放状態から密閉した時点を 0 分間とし、30 分間の密閉空間内の CH<sub>4</sub>、N<sub>2</sub>O ガス濃度増加量からガス発生量を求めた。密閉空間内のガスはリボンポンプ(柴田 MINI PUMP MP-2N) 1.2L・min<sup>-1</sup> 程度の低流量で 1L テドラーーパックに 0.2L 程度ガスサンプルを採取し分析に供した。

水質と採取した CH<sub>4</sub>、N<sub>2</sub>O ガスの分析方法は下記のように統一方法で行った。また水質分析は嫌気濾床と土壤トレチの流入水、流出水、最終処理水を対象とした。水質測定項目は以下の方法で分析した。

- (1)BOD (生物化学的酸素要求量) : 直接希釈法を用いて分析した。
- (2)COD (化学的酸素要求量) : 100 ℃過マンガン酸カリウム法で分析した。
- (3)TOC (全有機性炭素) : ガラス纖維濾紙 (Whatman GF/C フィルター) でろ過した濾液について有機性炭素分析計 (日本側が島津製作所製、TOC-5000 型、中国側が島津製作所製、TOC-10A 型) で分析した。
- (4)T-N (全窒素)、NH<sub>4</sub>-N (アンモニア窒素)、NO<sub>3</sub>-N (硝酸性窒素) : 上記の同じ濾液について、日本側が TRAACS 800 型 Analytical Console 分析計で分析し、中国側が化学分析方法で分析した。
- (5)DO (溶解酸素) : 直接希釈法または、隔膜電極法を用いて、日本側が TOA 電気製 DO メーターで分析し、中国側が化学分析方法で分析した。
- (6)pH : 日本側が TOA 電気製 pH メーターで分析し、中国側が中国製 pH メーターで分析した。
- (7)SS (浮遊物質) : ガラス纖維濾紙 (Whatman GF/C フィルター) 法を用いて分析した。
- (8)T-P (全リン) : リン酸イオン態リンの測定法であるモリブデン青 (アスコルビン酸) 吸光光度法を用いて上記の同じ濾液について、日本側が TRAACS 800 型 Analytical Console 分析計で分析した。

CH<sub>4</sub> ガスの分析については、日本側が島津製作所ガスクロマトグラフ GC-8 型 (水素炎イオン化検出器) 使用し、ガスクロマトグラフの操作条件は次の通りであり、キャリヤガスが N<sub>2</sub>60ml・min<sup>-1</sup>、カラムと検出器温度は 60 ℃および 80 ℃である。N<sub>2</sub>O ガスの分析については、日本側が島津製作所ガスクロマトグラフ GC-8 型 (電子捕獲検出器) を用い、ガスクロマトグラフの操作条件はキャリヤガスを He30ml・min<sup>-1</sup>、カラムと検出器温度は各々 80 ℃とした。

土壤トレチの ORP 測定方法は、日本側が東和電波製 RM-12P の ORP メーターで、電極は比較電極と白金電極を採用して分析した。

### 3. 実験結果

#### 3.1 土壌トレーナーの処理施設の水質調査結果

日本側の京都工場と中国側の沈陽工業大学における土壌トレーナー処理施設における流入水と処理水の水質データによると、流入水の有機物負荷 BOD は日本側と中国側がそれぞれ  $252\text{mg}\cdot\text{l}^{-1}$  と  $266\text{mg}\cdot\text{l}^{-1}$  で、大差がなく、処理水の BOD がそれぞれ  $2.7\text{mg}\cdot\text{l}^{-1}$  と  $26\text{mg}\cdot\text{l}^{-1}$  で、処理水の BOD の除去率がそれぞれ 99% と 90% で、日本側の処理水質の方が良ことがわかった。流入水の窒素負荷 T-N が日本側と中国側がそれぞれ  $192\text{mg}\cdot\text{l}^{-1}$  と  $87\text{mg}\cdot\text{l}^{-1}$  で、処理水の T-N がそれぞれ  $148\text{mg}\cdot\text{l}^{-1}$  と  $63\text{mg}\cdot\text{l}^{-1}$  で、処理水の T-N の除去率はそれぞれ約 23% と 28% で、大差のないことがわかった。

#### 3.2 土壌トレーナー処理施設とベンチスケール土壌トレーナーからの $\text{CH}_4$ 、 $\text{N}_2\text{O}$ 等ガスの放出状況

日本側の京都工場における土壌トレーナー処理施設と中国側の土壌トレーナー処理施設から  $\text{CH}_4$ 、 $\text{N}_2\text{O}$  等地球温暖化ガスの関連データによると、 $\text{CH}_4$ 、 $\text{N}_2\text{O}$  等地球温暖化ガス Flux の平均値がそれぞれ  $9.3 \sim 13.9\text{g CH}_4 \cdot \text{m}^{-2} \cdot \text{day}^{-1}$  と  $8.2 \sim 12.2\text{g N}_2\text{O} \cdot \text{m}^{-2} \cdot \text{day}^{-1}$ 、 $3.0 \sim 4.5\text{g CH}_4 \cdot \text{m}^{-2} \cdot \text{day}^{-1}$  と  $3.3 \sim 5.0\text{g N}_2\text{O} \cdot \text{m}^{-2} \cdot \text{day}^{-1}$  であり、中国側の土壌トレーナー処理施設からの  $\text{CH}_4$ 、 $\text{N}_2\text{O}$  等地球温暖化ガス Flux は日本側と比べてそれぞれ日本側の 32% と 40% 程度で少ないことがわかった。

図 2 は日中両国の土壌トレーナー処理施設からの  $\text{CH}_4$ 、 $\text{N}_2\text{O}$  の発生特性の比較について示したものである。図 2 に示すように日本側の土壌トレーナー処理施設の地温が 8 月の約  $20^\circ\text{C}$  から 2 月の  $10^\circ\text{C}$  以下にまで低下した理由で  $\text{CH}_4$  と  $\text{N}_2\text{O}$  ガスの Flux は、それぞれ 8 月の  $12.9 \sim 19.3\text{g CH}_4 \cdot \text{m}^{-2} \cdot \text{day}^{-1}$  と  $11.7 \sim 17.5\text{g N}_2\text{O} \cdot \text{m}^{-2} \cdot \text{day}^{-1}$  から 2 月の  $7.2 \sim 10.0\text{g CH}_4 \cdot \text{m}^{-2} \cdot \text{day}^{-1}$  と  $6.5 \sim 9.8\text{g N}_2\text{O} \cdot \text{m}^{-2} \cdot \text{day}^{-1}$  まで低下する傾向がみられた。これらは中国側の土壌トレーナー処理施設において  $\text{CH}_4$  と  $\text{N}_2\text{O}$  ガスの Flux が低下する傾向がみられる理由と同じと考えられる。

日本側の実験室内設置されたベンチスケール土壌トレーナーと中国側のベンチスケール土壌トレーナーからの  $\text{CH}_4$ 、 $\text{N}_2\text{O}$  等地球温暖化ガスに関連データによると、 $\text{CH}_4$ 、 $\text{N}_2\text{O}$  等地球温暖化ガス Flux の平均値はそれぞれ  $7.4\text{g CH}_4 \cdot \text{m}^{-2} \cdot \text{day}^{-1}$ 、 $5.7\text{g N}_2\text{O} \cdot \text{m}^{-2} \cdot \text{day}^{-1}$  と  $7.1\text{g CH}_4 \cdot \text{m}^{-2} \cdot \text{day}^{-1}$ 、 $4.6\text{g N}_2\text{O} \cdot \text{m}^{-2} \cdot \text{day}^{-1}$  であり、日中両国間の実験室内においても、設置された同じベンチスケール土壌トレーナーで、また同じ生活系排水を処理する場合、 $\text{CH}_4$  の Flux はほぼ同じで、 $\text{N}_2\text{O}$  の Flux は中国側が 20% 程度低く、大差がないことが確認された。

図 3 は日中両国のベンチスケール土壌トレーナーからの  $\text{CH}_4$ 、 $\text{N}_2\text{O}$  の発生特性の比較について示したものである。図 3 に示すように日本側の  $20^\circ\text{C}$  恒温実験室に設置したベンチスケール土壌トレーナーからの  $\text{CH}_4$  と

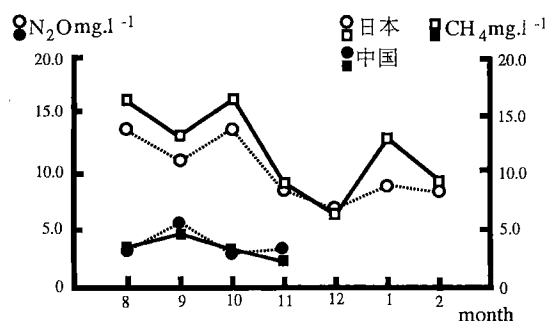


図2 中日両国の土壌トレーナーにおける  $\text{N}_2\text{O}, \text{CH}_4$  ガス発生特性の比較

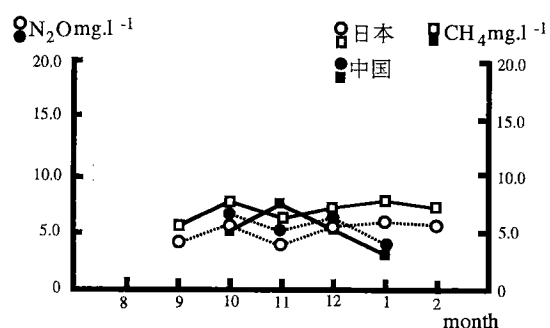


図3 中日両国のベンチスケールにおける  $\text{N}_2\text{O}, \text{CH}_4$  ガス発生特性の比較

$\text{N}_2\text{O}$  ガスの Flux は安定する傾向がみられていたが、中国側の実験室に設置したベンチスケール土壌トレッジには室温が秋から冬に徐々低下につれて  $\text{CH}_4$  と  $\text{N}_2\text{O}$  ガスの Flux が低下する傾向がみられた。

### 3.3 中国の土壤処理プロセスの $\text{CH}_4$ 、 $\text{N}_2\text{O}$ 等地球温暖化ガスの放出総量の試算

中国側における土壤トレッジ処理施設からの  $\text{CH}_4$ 、 $\text{N}_2\text{O}$  等ガスの関連データに基づき、生活排水を処理する土壤トレッジ処理施設からの  $\text{CH}_4$ 、 $\text{N}_2\text{O}$  の放出原単位は、 $3.0 \sim 4.5 \text{ gCH}_4 \cdot \text{m}^{-3}$  と  $3.3 \sim 5.0 \text{ gN}_2\text{O} \cdot \text{m}^{-3}$  (生活排水) と試算された。中国の東北、西北、華北地方の約 2 億人の範囲に土壤トレッジ処理施設を普及する場合に、2001 生活排水/人程度の排水量で試算すれば、この処理法式の土壤トレッジからの  $\text{CH}_4$ 、 $\text{N}_2\text{O}$  ガスの放出総量はそれぞれ  $43,800 \text{ T} \sim 65,700 \text{ T} \cdot \text{CH}_4 \cdot \text{yr}^{-1}$  と  $48,200 \text{ T} \sim 73,000 \text{ T} \cdot \text{NO}_2 \cdot \text{yr}^{-1}$  となる。中国の土壤トレッジからの  $\text{CH}_4$ 、 $\text{N}_2\text{O}$  ガスの放出総量は日本国内の下水処理場の下水処理と汚泥焼却との二つ過程からの  $\text{CH}_4$ 、 $\text{N}_2\text{O}$  ガスの放出総量の  $8,300 \text{ T} \cdot \text{CH}_4 \cdot \text{yr}^{-1}$  と  $2,940 \text{ T} \cdot \text{NO}_2 \cdot \text{yr}^{-1}$  (下水処理の  $110 \text{ T} \cdot \text{NO}_2 \cdot \text{yr}^{-1}$  と汚泥焼却の  $2,830 \text{ T} \cdot \text{NO}_2 \cdot \text{yr}^{-1}$  と合計値、建設省土木研究所下水道部調査、1995 年) よりそれぞれ約 7 倍と 20 倍高くなることがわかった。

中国における各種人為的な  $\text{CH}_4$ 、 $\text{N}_2\text{O}$  の発生源のそれぞれの放出量はまだ解明されていないところであるが、上記の土壤トレッジからの  $\text{CH}_4$ 、 $\text{N}_2\text{O}$  の放出総量は巨大な放出量となることは間違いない、適切な抑制対策を取らなければならぬと考えられる。

### 3.4 土壤トレッジでの窒素の物質収支

ベンチスケール土壌トレッジでの窒素の物質収支の解明を続け、平成 8 年 9 月～平成 9 年 8 月の一年間の水質データと  $\text{CH}_4$ 、 $\text{N}_2\text{O}$  等の地球温暖化ガス等に基づいてベンチスケール土壌トレッジにおける窒素に関する物質収支を試算した。図 4 は日本側のベンチスケール土壌トレッジの窒素物質収支であり、原水の T-N を 100% とすると、嫌気濾床ではほぼ窒素の形態の 100% が  $\text{NH}_4\text{-N}$  になり、土壤トレッジで約 27% の窒素が消費され、土壤トレッジの窒素消費は微生物同化、硝化一脱窒反応によるガス態の  $\text{N}_2$ 、 $\text{NO}$ 、 $\text{N}_2\text{O}$  になること等と推定されるが、得られた  $\text{N}_2\text{O}$  ガスの放出データに基づく解析によると、消費された窒素分の約 26% が  $\text{N}_2\text{O}$  ガスとして放出されることがわかった。これらの値は原水 T-N の 100% に対して約 8.0% を占め、Flux に換算して  $4.0 \text{ gN}_2\text{O} \cdot \text{m}^{-3}$  という高い原単位になり、また残った約 73% の  $\text{NO}_3\text{-N}$  が処理水として放流されることがわかった。

ベンチスケール土壌トレッジの  $\text{N}_2\text{O}$  ガスへの転換率は、 $\text{N}_2\text{O}$  ガス高転換率といわれる単独処理浄化槽の転換率の  $0.4 \sim 1.1\%$  (建設省土木研究所下水道部調査、1995 年) より更に数倍～十倍高く、その  $\text{N}_2\text{O}$  ガスの放出原単位は活性汚泥法下水処理場からの放出原単位の  $10 \text{ mgN}_2\text{O} \cdot \text{m}^{-3}$  (建設省土木研究所下水道部調査、1995 年) より 400 倍高くなることがわかった。

### 3.5 土壤トレッジからの $\text{CH}_4$ 、 $\text{N}_2\text{O}$ ガスの放出メカニズム

生活排水を処理する土壤トレッジは、活性汚泥法等と同じように微生物が排水中の有機炭素と有機

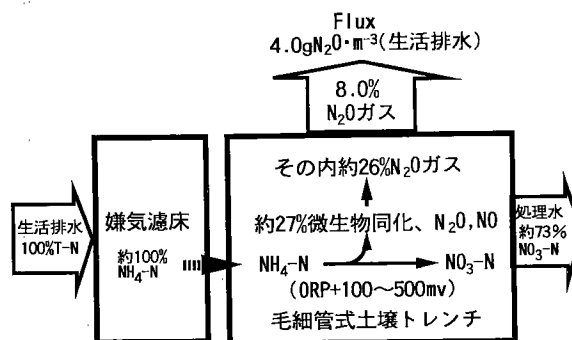


図4 ベンチスケール土壌トレッジの窒素物質収支

窒素を代謝する微生物原理は同じであるから、原水負荷が高過ぎたり、酸素供給が不十分であったり、攪拌が不十分であったり局部的に嫌気性化した場合、原水の C / N 比のバランスが悪い場合、pH の高低等の原因で排水処理システムからの CH<sub>4</sub>、N<sub>2</sub>O ガスより多く放出するのは共通する原因と考えられるが、土壤トレーニングの上記のような共通原因で活性汚泥法より CH<sub>4</sub>、N<sub>2</sub>O ガス数百倍高く放出することは考え難く、特有的な放出メカニズムがあると考えられる。

上記の窒素の物質収支に関する図 4 により、土壤トレーニングにおいては嫌気層からの NH<sub>4</sub>-N が 9 割以上 NO<sub>3</sub>-N に転換され、また、ORP が +100 ~ +400mV になったことにより、土壤トレーニングについては硝化反応が適正に進行していると考えられる。しかし、土壤トレーニング内の土壤團粒構造で、團粒土壤表面は好気性であったとしても内部は嫌気性になり易いことが分かった。また、土壤トレーニング処理方式では浄化槽等の完全混合状態と異なり、散水管周辺の土壤に先に原水中の汚濁分が浸透し、残った汚濁分が順次に周りの土壤に緩速浸潤散し、そのため汚濁負荷が散水管周辺の負荷の高い部分から集水管周辺の低い部分まで勾配分布になり、散水管周辺部が嫌気性になったことも分かった。即ち土壤トレーニング全体として好気硝化反応が行われるが、構造的に局部に嫌気部分が存在して嫌気性反応が同時に行われていると考えられる。このことは ORP が +457mv であった場合でも CH<sub>4</sub> ガスの放出が認められたことから裏付けられる。

土壤トレーニングにおける N<sub>2</sub>O ガスの放出するメカニズムは多種複雑な微生物の関与する反応が考えられるが、その中に土壤中に生息する  $\beta$ -類の好気脱窒反応からの N<sub>2</sub>O ガス発生の可能性もまた残っている。上記のことから主なメカニズムは土壤トレーニングの硝化反応によるものと嫌気過程から放出している N<sub>2</sub>O ガス、主な放出は嫌気過程から放出している N<sub>2</sub>O ガスと考えられる。なお、CH<sub>4</sub> ガスの放出のメカニズムは単純な嫌気過程から放出しているものと考えられる。

### 3.6 土壤トレーニングにおける ORP と CH<sub>4</sub>、N<sub>2</sub>O ガスの発生との関係

毛細管方式(非通気非循環系)ベンチスケール土壤トレーニングの散水管周辺部、受皿上部、受皿側部、集水管上部等六つ観察点の試験開始から 3 週目と 52 週目の ORP 分布状況については図 5,6 に示す通りであり、3 週目の時点において受皿部の ORP が +47mv 程度、受皿側部の ORP も +457mv 程度にした。52 週目の時点において受皿部の ORP が -189mv 程度、散水管周辺部の ORP が -62mv 程度に低下し、受皿部、散水管周辺部等広い範囲の嫌気性区域が出現したことが確認された。

なお、本報告書には上記の六つ観察点の中に主な微生物反応区としての受皿側部の ORP を選んでベンチスケール土壤トレーニングの代表的 ORP として評価する。

図 7 は平成 8 年 8 月～平成 9 月 7 月の一年間

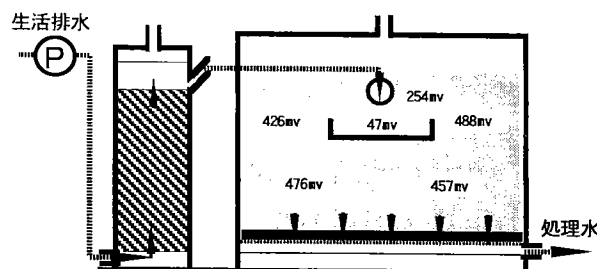


図5 ベンチスケール土壤トレーニングの3週目の ORP分布状況

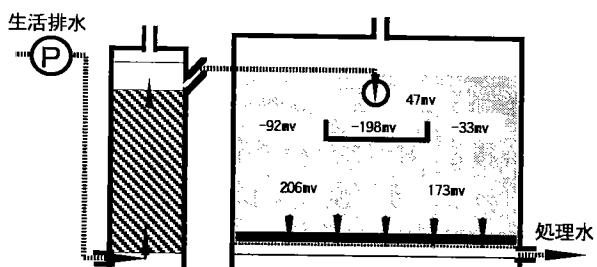


図6 ベンチスケール土壤トレーニングの52週目の ORP分布状況

に毛細管方式ベンチスケール土壤トレンチにおける ORP と  $\text{CH}_4$ 、 $\text{N}_2\text{O}$  ガスの発生の経日変化について示したものであり、土壤トレンチの 3 週目における ORP は約 +457mv の高いレベルであるのに、 $\text{CH}_4$ 、 $\text{N}_2\text{O}$  ガスの Flux はそれぞれ  $4.8 \text{gCH}_4 \cdot \text{m}^{-3}$ 、 $4.2 \text{gN}_2\text{O} \cdot \text{m}^{-3}$  でかなり高い放出が確認された。その後 ORP は徐々に低下し、32 週目における ORP は約 +48mv にまで低下し、 $\text{CH}_4$ 、 $\text{N}_2\text{O}$  ガスの Flux はそれぞれ  $7.5 \text{gCH}_4 \cdot \text{m}^{-3}$ 、 $7.1 \text{gN}_2\text{O} \cdot \text{m}^{-3}$  で、56.3%、69.1% 程度上昇した。

約一年運転した後の ORP は約 -62mv 以下まで低下し、 $\text{CH}_4$  ガスの Flux は  $13.4 \text{gCH}_4 \cdot \text{m}^{-3}$  にまで高くなり、3 倍近く上昇した。 $\text{N}_2\text{O}$  ガスの Flux は ORP が +150mv から -10mv にまで低下する間に約  $7 \sim 8 \text{gN}_2\text{O} \cdot \text{m}^{-3}$  の範囲内であり、大きな変動はなく、ORP が -10mv 近くなると、 $\text{N}_2\text{O}$  ガス Flux は逆に徐々に低下し、約一年運転した後に ORP 約 +457mv の場合の  $\text{N}_2\text{O}$  ガスの Flux の  $4.6 \text{gN}_2\text{O} \cdot \text{m}^{-3}$  と同じレベルに戻った。

上記のベンチスケール土壤トレンチにおける ORP と  $\text{CH}_4$ 、 $\text{N}_2\text{O}$  ガスの発生の経日変化をまとめてみると、 $\text{CH}_4$  ガスの発生は ORP の低下につれて単純に上昇する傾向を示すが、 $\text{N}_2\text{O}$  ガスの発生は ORP の +150mV ~ -10mv の間 ( $\text{N}_2\text{O}$  高放出区間と考えられる) で高くなる傾向がある。即ち毛細管方式では ORP を高いレベルに維持すれば  $\text{CH}_4$  ガスを抑制でき、ORP を +150mV ~ -10mv 以外 mv 範囲に維持すれば  $\text{N}_2\text{O}$  の発生を抑制できる。但し、もし土壤トレンチの ORP を -10mv 以下の嫌気性の条件で運転すれば、 $\text{N}_2\text{O}$  の発生を抑制できる反面、 $\text{CH}_4$  ガスの発生上昇、土壤トレンチの詰まり易いと有機物分解能低下等のいくつかの短所があるので、 $\text{CH}_4$  と  $\text{N}_2\text{O}$  ガスの両方抑制、土壤トレンチの処理性能の安定性と有機分解能高く維持等との総合的立場を考えると高い ORP を維持する運転条件は土壤トレンチの  $\text{CH}_4$ 、 $\text{N}_2\text{O}$  ガスの発生抑制する最適な運転条件であると考えられる。

### 3.7 微量通気方式による高い ORP 維持と $\text{CH}_4$ 、 $\text{N}_2\text{O}$ ガスの発生抑制効果

土壤トレンチにおける高い ORP を維持する方法は、適正な原水負荷、原水均一散水構造、間欠散水、土壤の通気性改善と酸素提供等の種々の方法が考えられるが、最も効率的な方法と考えられる微量通気方式による土壤トレンチの高い ORP 維持と  $\text{CH}_4$ 、 $\text{N}_2\text{O}$  の発生抑制効果について検討を行った。

図 8 は微量通気方式における ORP と  $\text{CH}_4$ 、 $\text{N}_2\text{O}$  ガスの発生経日変化、図 9 は微量通気方式による高い ORP 維持と  $\text{CH}_4$ 、 $\text{N}_2\text{O}$  の発生抑制効果について示したものであり、試験開始時点に通気系と非通気系とともに土壤トレンチの ORP は約 +490mv で、通気系の  $\text{CH}_4$ 、 $\text{N}_2\text{O}$  の Flux は  $5.4 \text{gCH}_4 \cdot \text{m}^{-3}$ 、 $3.2 \text{gN}_2\text{O} \cdot \text{m}^{-3}$  に対して、非通気系の  $\text{CH}_4$ 、 $\text{N}_2\text{O}$  の Flux は  $5.2 \text{gCH}_4 \cdot \text{m}^{-3}$ 、 $3.4 \text{gN}_2\text{O} \cdot \text{m}^{-3}$  で大差がなかったが、約

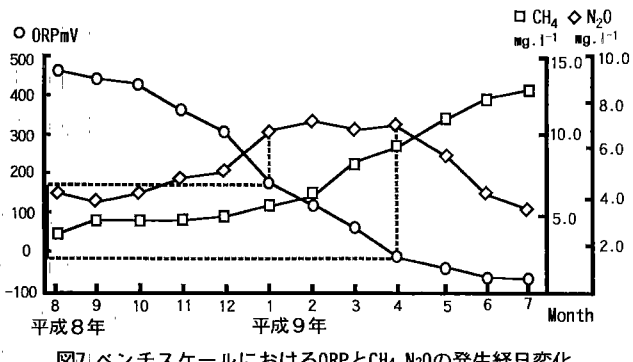


図7 ベンチスケールにおけるORPと $\text{CH}_4$ 、 $\text{N}_2\text{O}$ の発生経日変化

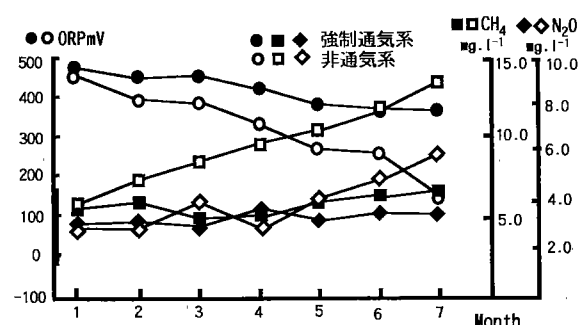


図8 微量通気方式におけるORPと $\text{CH}_4$ 、 $\text{N}_2\text{O}$ の発生経日変化

7ヶ月間の運転結果によると通気系の ORP は少々低下したものの約+400mv 維持でき、通気系の  $\text{CH}_4$ 、 $\text{N}_2\text{O}$  の Flux はそれぞれ  $6.6 \text{ gCH}_4 \cdot \text{m}^{-3}$ 、 $3.7 \text{ gN}_2\text{O} \cdot \text{m}^{-3}$  になり、スタート時点と比べるとそれぞれ 22.2%、15.6% 上昇した。非通気系における ORP が徐々に低下し、約+140mv まで低下した、 $\text{CH}_4$ 、 $\text{N}_2\text{O}$  の放出がそれぞれ  $14.3 \text{ gCH}_4 \cdot \text{m}^{-3}$ 、 $5.7 \text{ gN}_2\text{O} \cdot \text{m}^{-3}$  まで徐々に上昇して、スタート時点と比べるとそれぞれ 175%、67.6% 上昇した。即ち約 7ヶ月間の運転結果をみれば非通気系と比べて通気系の方はそれぞれ 53.8%、35.1% 抑制できることがわかった。

### 3.8 水量負荷による ORP と $\text{CH}_4$ 、 $\text{N}_2\text{O}$ ガスの発生抑制の影響

土壤トレーラーの水量負荷は土壤トレーラーの詰まりに関する要因と言われるが、 $\text{CH}_4$ 、 $\text{N}_2\text{O}$  ガスの発生抑制と高い ORP 維持に関する重要な要因と考えられる。そのために水量負荷による土壤トレーラーの高い ORP 維持と  $\text{CH}_4$ 、 $\text{N}_2\text{O}$  ガスの発生抑制効果について検討を行った。なお、循環方式の導入する場合に水量負荷は更に 3 倍（循環比 2 に設定する場合）になり、 $\text{CH}_4$ 、 $\text{N}_2\text{O}$  の発生抑制に対してマックス効果がある可能性を配慮して循環式嫌気ろ床・土壤トレーラー方式を採用して試験を行った。

図 10、11 は非循環系と循環系土壤トレーラーにおける 12 週間の運転後の各水量負荷による ORP と  $\text{CH}_4$ 、 $\text{N}_2\text{O}$  ガスの発生の影響について示したものであり、図 10 の非循環系の水量負荷は、 $50 \text{ L} \cdot \text{day}^{-1}$  から  $100 \text{ L} \cdot \text{day}^{-1}$  に上昇して ORP が 400mv 程度から 300mv 程度に低下したが、 $100 \text{ L} \cdot \text{day}^{-1}$  に越えて  $150 \text{ L} \cdot \text{day}^{-1}$ 、 $200 \text{ L} \cdot \text{day}^{-1}$  になると、ORP が急に 300mv 程度から 100mv 程度更に 100mv 以下に低下し、 $\text{CH}_4$  ガス発生が  $3.4 \sim 7.8 \text{ gCH}_4 \cdot \text{m}^{-3}$  から急に  $18.4 \sim 29.2 \text{ gCH}_4 \cdot \text{m}^{-3}$  の倍以上に上昇し、 $\text{N}_2\text{O}$  ガス発生も  $2.8 \sim 4.1 \text{ gN}_2\text{O} \cdot \text{m}^{-3}$  から急に  $8.4 \sim 8.7 \text{ gN}_2\text{O} \cdot \text{m}^{-3}$  の倍以上に上昇した。図 11 の循環系の場合を見れば、水量負荷は、 $50 \text{ L} \cdot \text{day}^{-1}$  から  $75 \text{ L} \cdot \text{day}^{-1}$  に上昇した場合に ORP が 400mv 程度から 200mv 程度に低下し、 $100 \text{ L} \cdot \text{day}^{-1}$ 、 $150 \text{ L} \cdot \text{day}^{-1}$  になると、ORP が急に 0mv 近い更に嫌気性状況になり、 $\text{CH}_4$  ガス発生が  $5.4 \sim 8.4 \text{ gCH}_4 \cdot \text{m}^{-3}$  から急に  $28.0 \sim 54.5 \text{ gCH}_4 \cdot \text{m}^{-3}$  の数倍から十倍程度に上昇し、 $\text{N}_2\text{O}$  ガス発生も  $3.9 \sim 6.0 \text{ gN}_2\text{O} \cdot \text{m}^{-3}$  から急に  $7.1 \sim 11.7 \text{ gN}_2\text{O} \cdot \text{m}^{-3}$  の倍以上に上昇した。水量負荷  $150 \text{ L} \cdot \text{day}^{-1}$  に設定した循環系土壤トレーラーは、2 倍の循環比を含めて

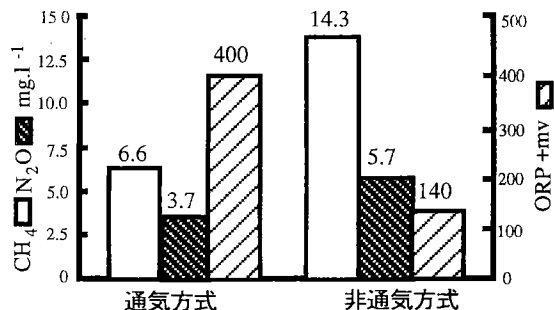


図9 微量通気方式による高いORP維持と $\text{N}_2\text{O}$ 、 $\text{CH}_4$ ガス発生抑制効果

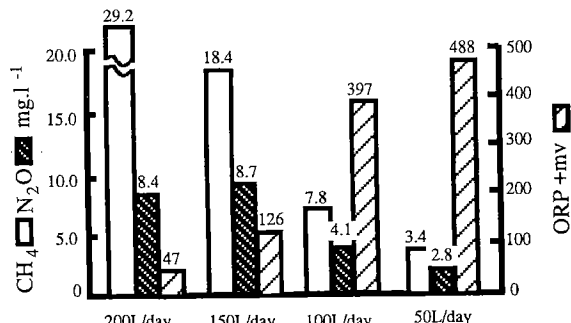


図10 非循環系の水力負荷によるORPと $\text{N}_2\text{O}$ 、 $\text{CH}_4$ ガスの発生の影響

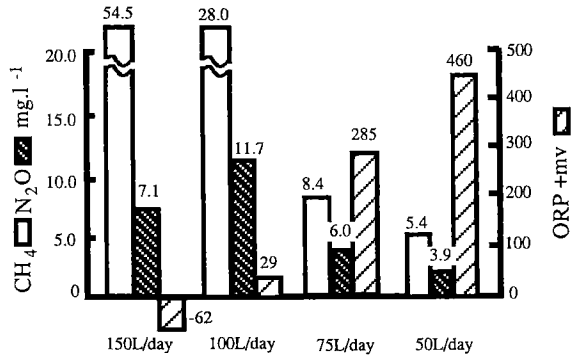


図11 循環系の水力負荷によるORPと $\text{N}_2\text{O}$ 、 $\text{CH}_4$ ガスの発生の影響

考えると実際水量負荷  $450\text{L}\cdot\text{day}^{-1}$  になる厳しい水量負荷になって、12週間の運転後の状態をみると、土壤トレーニングの内部に既にべたべた的水溜まりで持続運転不能状態になった。

$\text{CH}_4$ 、 $\text{N}_2\text{O}$  ガスの発生抑制する立場を考えると、非循環系の水量負荷は、 $100\text{L}\cdot\text{day}^{-1}$  以下に、循環系土壤トレーニングの場合に更に低くなり、 $75\text{L}\cdot\text{day}^{-1}$  以下に設定することが適正な運転条件であることがわかった。

### 3.9 中国の国情に合う $\text{CH}_4$ 、 $\text{N}_2\text{O}$ ガスの発生抑制土壤トレーニング技術に関する総合討論

生活排水を処理する土壤トレーニングシステムは、本国際共同研究の初年度の日中両国での調査成果により確かにトレーニング内部の好気状態と局部的嫌気部分が併存する特殊的な構造的な原因で、活性汚泥法等他の同様生活排水を処理方式と比べると、 $\text{CH}_4$ 、 $\text{N}_2\text{O}$  ガスの放出がかなり高い方式であることがわかった。しかし、中国をはじめとする開発途上国における生活排水処理システム（勿論  $\text{CH}_4$ 、 $\text{N}_2\text{O}$  等地球温暖化ガスの放出抑制技術を含む）の開発においては、その国の経済レベル、産業レベルと維持管理レベル等に合うように配慮をしなければ、実施あるいは普及できない。土壤トレーニングシステムは維持管理が容易で、無電力運転でき、特に建設費用と維持管理費用が活性汚泥法等と比べて数分の一程度過ぎない等の利点を考えると、中国の国情をみた場合、土壤トレーニング方式を他の  $\text{CH}_4$ 、 $\text{N}_2\text{O}$  等地球温暖化ガスの放出低い方式に転換することは環境行政、経済レベル、技術レベル等面で容易ではないと考えられるため、むしろ既に建設済み土壤トレーニングを簡易な  $\text{CH}_4$ 、 $\text{N}_2\text{O}$  ガスの抑制方式に改造して対応し、新設する土壤トレーニングは両国共同的開発されてきている  $\text{CH}_4$ 、 $\text{N}_2\text{O}$  ガスの抑制技術を導入するのが適切と考えられる。

本国際共同研究により、土壤トレーニングにおける  $\text{CH}_4$ 、 $\text{N}_2\text{O}$  ガスの高放出の主なメカニズムはその内部の好気状態と局部的嫌気部分が併存する特殊な構造が原因と考えられるが、トレーニングの ORP を  $>+150\text{mV}$  レベルに維持すれば  $\text{CH}_4$  と  $\text{N}_2\text{O}$  ガスの両方放出の抑制が可能であり、単純的微量通気対策を適用することにより ORP を  $+300 \sim +400\text{mV}$  レベルに維持でき、 $\text{CH}_4$ 、 $\text{N}_2\text{O}$  ガスの放出量をそれぞれ約  $1/2, 1/3$  程度抑制でき、適正な水量負荷に設定することにより  $\text{CH}_4$ 、 $\text{N}_2\text{O}$  の放出量を抑制できることが解明された。上記の対策は施設構造が簡単で、低コストで維持管理が容易な対策と言え、中国の現場ににすぐ実施可能といえる。

本国際共同研究では、本研究の開発された技術をメイン対策として、更に日中両国における既に開発されてきている様々土壤トレーニングの  $\text{CH}_4$ 、 $\text{N}_2\text{O}$  ガス抑制に活用可能な技術と対策を組み込んで、中国をはじめとする開発途上国に実施、普及できる  $\text{CH}_4$ 、 $\text{N}_2\text{O}$  等地球温暖化ガスの放出抑制する総合的土壤トレーニングシステムを提案することを考えている。

## 4. 本研究により得られた成果

本国際交流研究の平成9年7月1日～平成10年3月31日においてベンチスケール実験装置で  $\text{CH}_4$ 、 $\text{N}_2\text{O}$  の発生のメカニズムの解明と  $\text{CH}_4$ 、 $\text{N}_2\text{O}$  の発生抑制する技術開発はほぼ計画通りに達成されたが、得られた研究成果は以下のようにまとめられる。

- (1) 日中両国において土壤トレーニングの処理施設での調査およびベンチスケール装置での検討のいずれにおいても、土壤処理システムからの  $\text{CH}_4$ 、 $\text{N}_2\text{O}$  等地球温暖化ガスの放出量は間欠曝気活性汚泥法より数十倍高くなることがわかった。
- (2) 日中両国における土壤トレーニング処理施設からの  $\text{CH}_4$ 、 $\text{N}_2\text{O}$  の放出原単位はそれぞれ  $9.3 \sim 13.9\text{gCH}_4$

・ $m^3$  と  $8.2 \sim 12.2 g N_2O \cdot m^3$ 、 $3.0 \sim 4.5 g CH_4 \cdot m^3$  と  $3.3 \sim 5.0 g N_2O \cdot m^3$  であった。

- (3) 中国側に土壤トレーチ処理施設を普及した場合に、放出原単位に基づいて試算すると  $CH_4$ 、 $N_2O$  ガスはそれぞれ  $43,800 T \sim 65,700 T \cdot CH_4 \cdot yr^{-1}$  と  $48,200 T \sim 73,000 T \cdot NO_2 \cdot yr^{-1}$  という巨大な放出量となることから、適切な抑制対策の開発と普及が重要と考えられた。
- (4) 土壤トレーチにおける  $CH_4$ 、 $N_2O$  ガスの高放出の主なメカニズムはその内部の好気状態と局部的嫌気部分が併存する特殊構造的な原因であることがわかった。
- (5) 土壤トレーチの ORP を高いレベルに維持すれば  $CH_4$  ガスを抑制でき、ORP を  $+150 mV$  以上あるいは  $-10 mV$  以下に維持すれば  $N_2O$  の発生を抑制できることがわかった。
- (6) 微量通気方式を適用することにより ORP を  $+300 \sim 400 mV$  範囲に維持でき、 $CH_4$ 、 $N_2O$  の放出をそれぞれ約  $1/2, 1/3$  抑制できることがわかった。
- (7) 土壤トレーチの水量負荷は、 $100 L \cdot day^{-1}$  以下に、循環系の場合に更に低く、 $75 L \cdot day^{-1}$  以下に設定すれば  $CH_4$ 、 $N_2O$  ガスの放出少ない運転条件がわかった。

微量通気方式を導入する  $CH_4$ 、 $N_2O$  ガスの抑制できる循環式嫌気ろ床・土壤トレーチシステムは中国へ応用可能な生活排水を高度処理する土壤トレーチシステムがわかった。平成 10 年度に開発された総合対策を組み込んだ微量通気方式循環嫌気ろ床・土壤トレーチを中国の遼寧省遼河油田職員宿舎区の大規模土壤トレーチに実証試験を行う予定である。

## 5. 参考文献

- 1) 稲森悠平、細見正明、須藤隆一：地球温暖化の原因となる温室効果ガスの排水処理施設からの発生抑制対策、用水と廃水、Vol.33, No.1, p28-34. 1991
- 2) 水落元之、稻森悠平、佐藤和明：下水処理場からの温室効果気体の放出量の評価解析、日本水処理生物学会第 30 回大会、1993 年 11 月
- 3) 稲森悠平、照沼 洋、水落元之、山本 真、幕田俊信、内田達也、木持 謙：間欠曝気生物学窒素と嫌気除去と温暖化ガス抑制における嫌気条件の効果、第 28 回日本水環境学会、1994 年 3 月。
- 4) Y. Inamori, M. Mizouchi, H. Terunuma, T. Uchida: Relationship between removal of nitro- gen and emission of greenhouse effect gas in intermittent aeration activated sludge process. Water Quality International'94, IAWQ.
- 5) Xiao-Lei Wu, Hai Nan Kong, Motoyuki Mizouchi, Yuhei Inamori, Huang Xia, Qian Yi: Nitrous Oxide Emission From Microorganisms. 日本水処理生物学会誌、Vol.31, No.3, p129-132, 1995
- 6) 孔海南、稻森悠平、水落元之：生態工学を活用した処理システムからの温暖化ガスの発生特性と抑制、第 4 回生物利用新技術研究シンポジウム論文集、p134 ~ 138、大阪、1996 年 12 月
- 7) 孔海南、稻森悠平、水落元之、孫鉄行、李培君：生活排水を処理する土壤トレーチからの地球温暖化ガスの放出特性、第 31 回日本水環境学会、1997 年 3 月
- 8) 孔海南、稻森悠平、水落元之：生活排水を処理する土壤トレーチからの地球温暖化ガスの発生メカニズムの解析、日本水処理生物学会第 34 回大会、1997 年 11 月
- 9) 孔海南、稻森悠平、水落元之：生活排水の土壤トレーチ処理プロセスからの地球温暖化ガスの排出と ORP との関係、第 32 回日本水環境学会、1998 年 3 月

## [国際共同研究等の状況]

共同研究名：湿地帯、土壤トレーチ、酸化池等のエコエンジニアリングシステムを用いた  $CH_4$ 、 $N_2O$  発生抑制技術

## 開発

協力案件名：中国の国情に合う土壤浄化法を組み込んだ生活排水高度処理システム開発に関する研究  
《日本国政府と中華人民共和国政府との環境保護協力協定》に基づいて開催された  
日中両国政府環境保護合同委員会第一～三回会議で継続合意された協力活動

カウンターパート：中国科学院応用生態研究所、所長孫鉄行、地球温暖化ガス研究室長陳冠雄、  
土壤汚染研究室長李培君、

### 参加・連携状況：

平成9年3月に中国側の研究代表者としての中国科学院応用生態研究所長孫鉄行を招聘した。  
また平成10年3月12日～19日の間に孫鉄行所長と土壤汚染研究室長李培君等三人を招聘来日して共同研究について打ち合わせした。平成9年3月6日～9日、5月6日～13日、9月5日～9日において日本側側の研究担当者は訪中して中国科学院応用生態研究所で三回共同研究の計画と進展について打ち合わせした。両国の担当者ともに本国際共同研究は予定通りに順調に進展していることに対して認識の一致をみ、今後更に効率的な協力を推進することと期待している。

平成10年度には本国際共同研究による開発されたCH<sub>4</sub>、N<sub>2</sub>Oガスの発生抑制する微量通気法を導入した嫌気ろ床・土壤トレッサは中国遼寧省遼河油田の職員宿舎区内の大型土壤トレッサに導入される予定になり、日本側のプロトと電気ファン等試験用機材を中国科学院応用生態研究所側にて活用し、中国の東北地方現地の凍結季節に渡って平成10年度4月から一年程度実証試験する予定になっている。

### [研究成果の発表状況]

#### (1) 口頭発表

- ①孔海南、稻森悠平、水落元之：生態工学を活用した処理システムからの温暖化ガスの発生特性と抑制、第4回生物利用新技術研究シンポジウム論文集、p134～138、大阪、1996年12月
- ②孔海南、稻森悠平、水落元之、孫鉄行、李培君：生活排水を処理する土壤トレッサからの地球温暖化ガスの放出特性、第31回日本水環境学会、1997年3月
- ③孔海南、稻森悠平、水落元之：生活排水を処理する土壤トレッサからの地球温暖化ガスの発生メカニズムの解析。日本水処理生物学会第34回大会、1997年11月
- ④孔海南、稻森悠平、水落元之：生活排水の土壤トレッサ処理プロセスからの地球温暖化ガスの排出とORPとの関係、第32回日本水環境学会、1998年3月

#### (2) 論文発表

- ①Xiao-Lei Wu,Hai Nan Kong,Motoyuki Mizouchi,Yuhei Inamori,Huang Xia,Qian Yi: Nitrous Oxide Emission From Microorganisms. 日本水処理生物学会誌、Vol31, No.3, p129-132, 1995